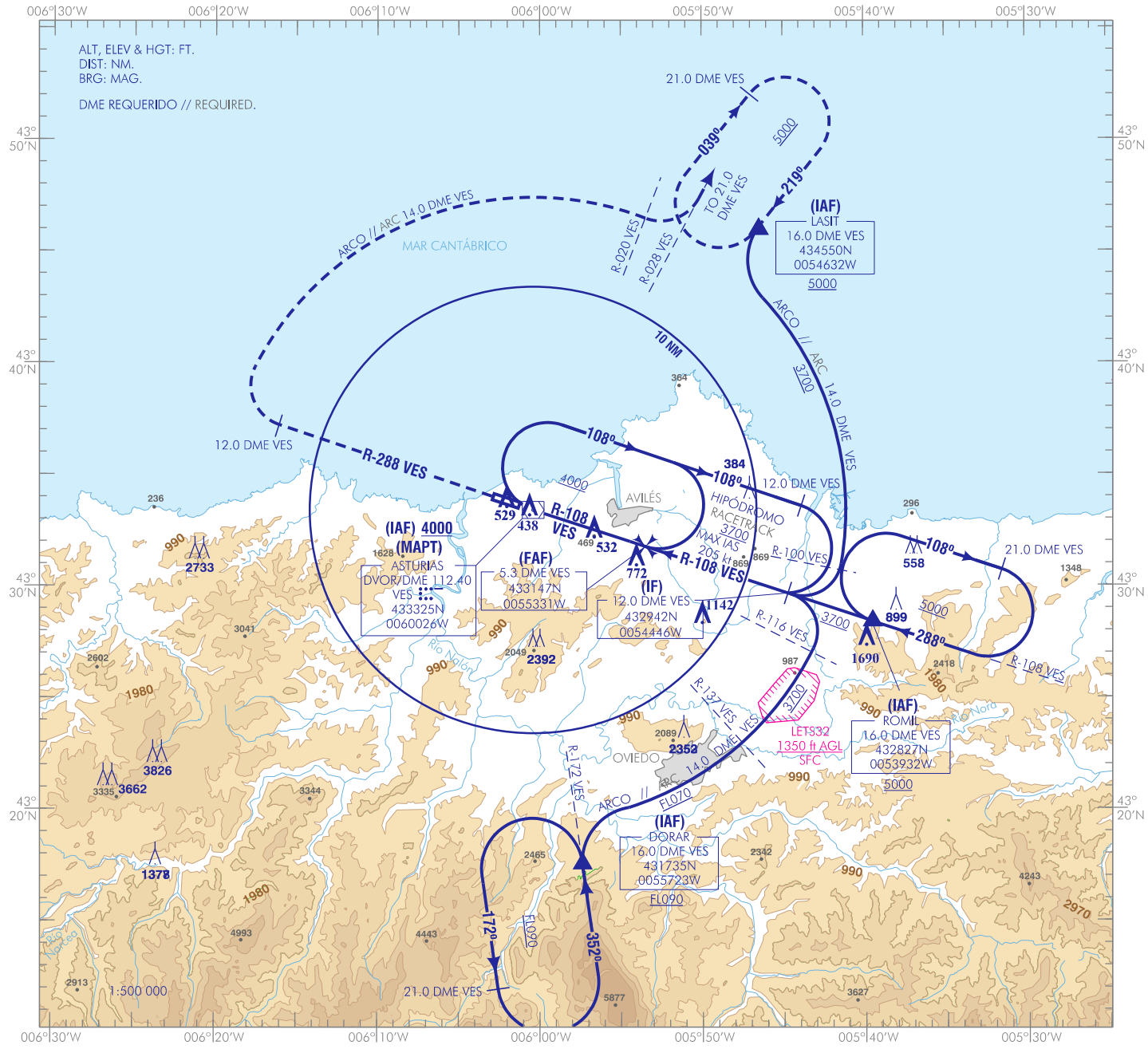
CARTA DE APROXIMACIÓN
POR INSTRUMENTOS-OACI

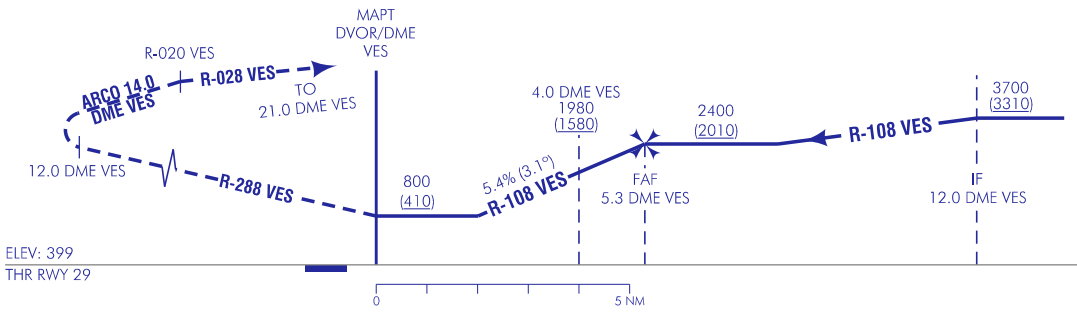
ELEV AD
416 ft
VAR 0° (2025)

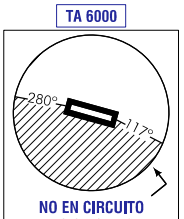
APP	118.150 MHz
TWR	118.150 MHz
GMC	121.705 C

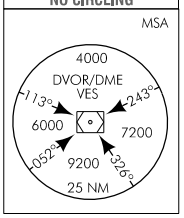
ASTURIAS
VOR
RWY 29



FRUSTRADA: SUBIR EN RUMBO DE PISTA HASTA INTERCEPTAR Y CONTINUAR EN R-288 VES HASTA 12.0 DME VES. VIRAR A LA DERECHA PARA INTERCEPTAR Y SEGUIR ARCO 14.0 DME VES HASTA R-020 VES. VIRAR A LA IZQUIERDA PARA INTERCEPTAR Y SEGUIR R-028 VES DIRECTO A 21.0 DME VES ASCENDIENDO A 5000 PARA INTEGRARSE A LA ESPERA EN LASIT.
MISSED APCH: CLIMB ON RUNWAY HEADING UP TO INTERCEPT AND FOLLOW R-288 VES UP TO 12.0 DME VES. TURN RIGHT TO INTERCEPT AND FOLLOW ARC 14.0 DME VES UP TO R-020 VES. TURN LEFT TO INTERCEPT AND FOLLOW R-028 VES DIRECT TO 21.0 DME VES CLIMBING UP TO 5000 TO JOIN TO HOLDING OVER LASIT.







HGT REF ELEV THR RWY 29

OCA/H			A	B	C	D
STA	2.5%		800 (410)			
En circuito (H) sobre 416 Circling (H) over 416			970 (560)		1070 (660)	1230 (820)

GS	kt	80	100	120	140	160	180
FAF-THR:	min:s						
FAF-MAPT:	min:s	NO AUTORIZADO EL CRONOMETRAJE // TIMING NOT AUTHORIZED					
ROD: 5.4 %	ft/min	437	546	655	764	873	982

ALT/HGT DME (VES) FNA												
13	12	11	10	9	8	7	6	5	4	3	2	1
								2310 (1910)	1980 (1540)	1650 (1250)	1320 (930)	1000 (600)

CAMBIOS: DECLINACIÓN MAGNÉTICA, RUMBOS.
CHANGES: MAGNETIC VARIATION, HEADINGS.

ASTURIAS AD

REQUISITOS DE LA BASE DE DATOS AERONÁUTICA
AERONAUTICAL DATABASE REQUIREMENTS

PROCEDIMIENTOS DE APROXIMACIÓN POR INSTRUMENTOS // INSTRUMENT APPROACH PROCEDURES

VOR RWY 29

PUNTO POINT	LAT	LONG	AZIMUT VERDADERO TRUE BEARING	DISTANCIA DME DME DISTANCE (NM)
LASIT (IAF)	434550.4N	0054632.1W	039.00º VES	16.00 DME VES
ROMIL (IAF)	432826.9N	0053932.5W	108.00º VES	16.00 DME VES
DORAR (IAF)	431734.7N	0055722.6W	172.00º VES	16.00 DME VES
DVOR/DME VES (IAF/MAPT)	433325.5N	0060026.4W	–	–
IF	432942.0N	0054445.6W	108.00º VES	12.00 DME VES
FAF	433147.1N	0055330.6W	108.00º VES	5.30 DME VES
→ Aproximación final de no precisión - Pendiente (Ángulo de descenso) // Non-precision final approach - Slope (Descent angle)				5.39% (3.08º)